

Výskyt laumontitu v katastri obce Píla (Pohronský Inovec, stredné Slovensko)

Occurrence of laumontite at the Píla village (Pohronský Inovec Mts., Central Slovakia)

ŠTEFAN FERENC^{1)*}, L'UBOŠ POLÁK¹⁾, TOMÁŠ MIKUŠ²⁾ A ADRIÁN BIROŇ²⁾

¹⁾Katedra geografie a geologie, Fakulta prírodných vied, Univerzita Mateja Bela, Tajovského 40, 974 01 Banská Bystrica, Slovenská republika; *e-mail: stefan.ferenc@umb.sk

²⁾Ústav vied o Zemi SAV - pracovisko Banská Bystrica, Ďumbierska 1, 974 01 Banská Bystrica, Slovenská republika

FERENC Š., POLÁK L', MIKUŠ T., BIROŇ A. (2016) Výskyt laumontitu v katastri obce Píla (Pohronský Inovec, stredné Slovensko). Bull. mineral.-petrolog. Odd. Nár. Muz. (Praha) 24, 1, 56-59. ISSN 1211-0329.

Abstract

Laumontite was found in the altered, Miocene pyroxenic andesite at the Píla village (Žarnovica district), Pohronský Inovec Mts. It forms white, fine-crystallitic fillings of cracks (up to 3 mm thick) in andesite. Laumontite crystals have prismatic or tabular shape, their average size ranges about 0.3 - 0.5 mm (sporadically occur in size of 1 - 3.5 mm). It was identified by powder XRD analysis, the main diffraction maxima with intensities are: 9.441(100), 6.836(41), 4.153(55), 3.504(35), 3.266(19), 2.875(13), 2.438(12). Unit cell parameters are: $a = 14.741(1)$ Å, $b = 13.075(1)$ Å, $c = 7.553(1)$ Å, $\beta = 111.964(4)$ °, $V = 1349.9(1)$ Å³. Diffraction pattern, just like the unit cell parameters, indicate partially dehydration of this laumontite (its transformation to leonardite). Chemical composition of studied zeolite is close to the normal laumontite formula. Admixtures in mineral structure are represented by slightly increased contents of Fe, Na and K (together ~ 0.28 apfu).

Key words: zeolites, laumontite, leonardite, X-ray diffraction data, Pohronský Inovec Mts., Píla, Slovak Republic

Obdrženo: 14. 3. 2016; přijato: 15. 4. 2016

Úvod

Laumontit je na Slovensku pomerne rozšíreným zeolitom. Najčastejšie sa vyskytuje na puklinách alterovaných neogénnych andezitov (napr. Banská Štiavnica, Pukanec, Breziny, Vyšná Šebastová, Fintice a množstvo iných lokalít), kde vzniká v rámci postmagmatických hydrotermálnych procesov. V neogénnych až kvartérnych bazaltoch je známy z Banského Studenca a Hajnáčky. Vystupuje však aj na puklinách granitov tatrického kryštallíka (Vrútky), vo veporiku je známy z puklín amfibolitov pri Muráni (prehľad napr. in Kodéra et al. 1989 - 1990; Ďuďa, Ozdín 2012).

Zeolitová mineralizácia reprezentovaná chabazitom sa v katastroch obcí Píla a Horné Hámre (resp. Župkov) spomína bez bližšej lokalizácie na pozemku Jána Koruntu (Liszkay 1877; Tóth 1882), iné zmienky o výskyti zeolitov z katastra týchto obcí doposiaľ nie sú známe. V ich blízkosti bol novšie zistený výskyt heulanditu-Ca v lome Kalvária pri Žarnovici (Ozdín, Majzlan 1996). Predložený príspevok rozširuje poznatky o zeolitovej mineralizácii v stredoslovenských neovulkanitoch a je venovaný doteč raz neznámemu výskytu laumontitu na svahoch Jazarca v katastri Píly (okres Žarnovica).

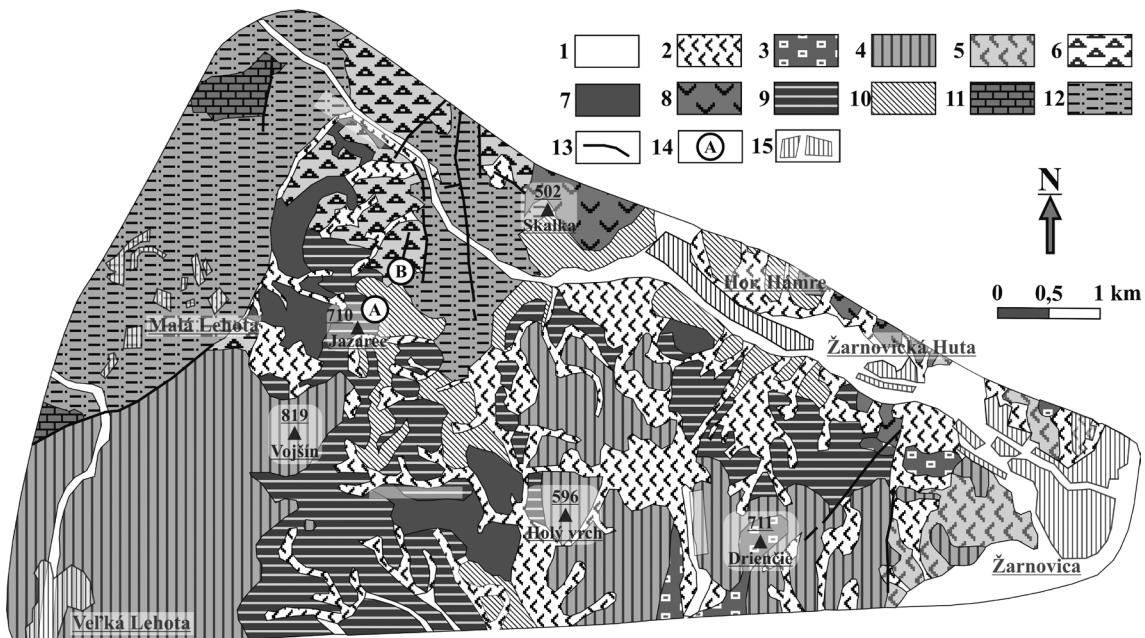
Lokalizácia a geologická stavba

Výskyt laumontitu na Jazarci sa nachádza v s. časti Pohronského Inovca, asi 3.4 km z. od obce Horné Hámre (miestnej časti Brod). Laumontit bol nájdený na dvoch miestach (obr. 1) a to: I) v záreze lesnej cesty, 350 m na SSV od kóty Jazarec (710 m), v nadmorskej výške 620

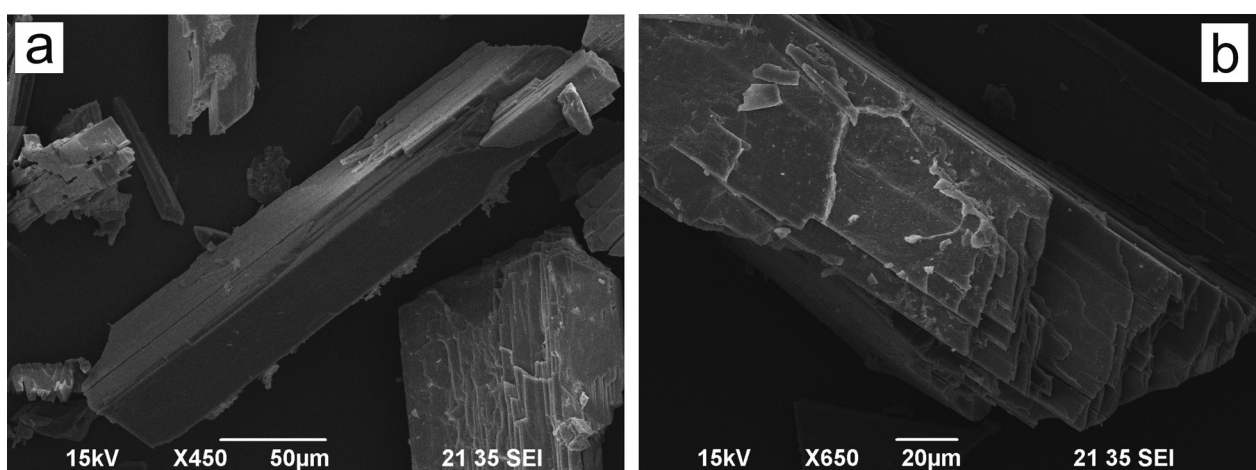
m (výskyt A, obr. 1), geografické koordináty lokality sú N: 48° 29' 47.4"; E: 18° 36' 23.6"; II) na puklinách andezitových úlomkov v sutine, 900 m na SV od Jazarca, 420 m z. od kóty Šarkan (505 m), v nadmorskej výške okolo 520 m (výskyt B, obr. 1), geografické koordináty lokality sú N: 48° 30' 00"; E: 18° 36' 46.2".

Hoci sa opisovaný výskyt po geografickej stránke nachádza v pohorí Pohronský Inovec, geologicky leží v západnej časti vulkanického aparátu štiavnického stratovulkánu. Podložie neogénnych vulkanitov v tejto oblasti je tvorené najmä mladopaleozoickými, menej mezozoickými sekvenciami hronika, ktoré na povrch vystupujú v sz. a s. časti územia, medzi Pílou, Malou Lehota a Hornými Hámrami (obr. 1). Podstatná časť neovulkanitov je zastúpená zložitým komplexom prúdov, extrúzií a intrúzií andezitov stredno- až vrchnobádenského veku. Tento komplex reprezentuje periférnu vulkanickú zónu spodnej stratovulkanickej etáže štiavnického stratovulkánu (sensu Konečný et al. 1998a, b). Stredná stratovulkanická etáž je tvorená extrúziami pyroxénicko-biotiticko-amfibolického andezitu (vrchný báden až spodný sarmat?) studenkej formácie a vrchná etáž prúdmi obdobných andezitov (spodný až stredný sarmat) sitnianskeho komplexu. Vulkanická činnosť tu bola ukončená objemovo menším ryolitovým vulkanizmom jastrabskej formácie vo vrchnom sarmate (Konečný et al. 1998b).

Samotné výskyty laumontitu sú priestorovo viazané na alterované prúdy pyroxénických andezitov spodnej vulkanickej etáže štiavnického stratovulkánu (obr. 1).



Obr. 1 Schéma geologickej stavby územia medzi Žarnovicou a Malou Lehotou, s vyznačením výskytov laumontitu (podľa Konečný et al. 1998a). **Vysvetlivky:** 1 - sedimenty riečnych a dolinných nív, fluviale terasové sedimenty (holocén-pliocén), 2 - nečlenené svahoviny (kvartér), 3 - extruzívne dómy, prúdy plagioklasových ryolitov (vr. sarmat), 4 - prúdy biotiticko-amfibolicko-pyroxeńických andezitov (sp.-str. sarmat), 5 - extrúzie pyroxéńicko-biotiticko-amfibolického andezitu (vr. báden-sp. sarmat?), 6 - vulkanické brekcie, konglomeráty a pieskovce andezitov (str.-vr. báden), 7 - intrúzie pyroxéńicko-amfibolických andezitov (str.-vr. báden), 8 - extruzívne dómy a prúdy pyroxéńicko-amfibolických andezitov (str.-vr. báden), 9 - prúdy augiticko-hypersténických andezitov (str.-vr. báden), 10 - prúdy augiticko-hypersténických andezitov (str.? báden), 11 - mezozoikum hronika - prevažne dolomity a vápence, menej pieskovce, zlepence a bridlice, 12 - mladšie paleozoikum hronika - pieskovce, bridlice, zlepence, lokálne tenké telesá intermediárnych vulkanitov a ich vulkanoklastík, 13 - tektonické štruktúry, 14 - výskyty laumontitu, 15 - zástavba.



Obr. 2 a) Štiepny agregát laumontitu prizmatického tvaru. **b)** Detailný pohľad na štiepateľnosť laumontitu. Oba obrázky vyhotovené v BSE. Foto: T. Mikuš.

Metodika

Laumontit bol identifikovaný práškovou rentgenovou difrakčnou analýzou na prístroji D8 Bruker Advance (Ústav vied o Zemi SAV, Banská Bystrica) za použitia žiazenia CuK α (1.540562 Å). Práškový preparát bol nanesený v acetónovej suspenzii na nosič (monokryštál Si) a následne boli získané difrakčné dátá v režime step-scanning (krok 0.02° 2 Θ /1.3 s, rozsah merania 2.0 - 65.0° 2 Θ). Difrakčný záznam bol vyhodnotený pomocou programu ZDS (Ondruš 1993). Jednotlivé difrakčné reflexy boli indexované na základe teoretických záznamov laumontitu resp. leonharditu vypočítaných programom v Databáze zeoli-

tových štruktúr (Baerlocher, McCusker 1996). Parametre základnej bunky boli vypočítané z RTG difrakčného záznamu metódou najmenších štvorcov, pomocou softvéru UnitCell (Holland, Redfern 1997).

Fotografie laumontitu sa vyhotovili v sekundárnych elektrónoch (BSE) na elektrónovom mikroskopе JEOL JSM-6390LV (Ústav vied o Zemi SAV, Banská Bystrica). Na neštandardizované kvalitatívne analýzy minerálu bol použitý EDS detektor (OXFORD INSTRUMENTS INCA x-act) za nasledujúcich podmienok: urýchľovacie napätie 15 kV, prúd 15 nA, pracovná vzdialenosť 10 mm a priemer lúča 1 µm.

Laumontit

Vytvára monominerálne výplne drobných puklín v pyroxénickom andezite. Hrúbka laumontitových žíliek, dosahuje max. do 3 mm a ich dĺžka, sa pohybuje od prvých mm do 20-25 cm. Plošný rozsah žíliek je max. 400 cm². Laumontit tvorí na puklinách jemnokryštaličné masy bielej farby, pričom priemerná veľkosť jednotlivých prizmatických a tabuľkovitých kryštálov sa pohybuje okolo 0.3-0.5 mm, zriedkavejšie aj 1 mm (obr. 2). Ojedinele boli pozorované prizmatické kryštály s dĺžkou 3.5 mm (pri hrúbke 0.3 mm). Lokálne sú laumontitové kryštáliky usporiadane do vejárovitých agregátov. Opis laumontitu platí pre oba vyššie spomenuté výskytu (A, B).

V priestorovej asociácii s laumontitovými žilkami sa vyskytujú v andezite aj samostatné puklinky (hrúbka okolo 2 mm), ktoré sú vypĺnené výlučne SiO₂ hmotami, konkrétnie tehlovočerveným *jaspisom* s monotónou tex-

túrou. Väčšie úlomky takého *jaspisu* (veľké do 5 cm), tak isto bez pozoruhodnejšej textúry, sa nachádzajú na viacerých miestach v svahových a aluviaálnych sedimentoch v dolinke ležiacej východne od lokality A.

Laumontit bol identifikovaný pomocou práškovej rentgenovej difrákčnej analýzy. Difrákčný záznam laumontitu z lokality Jazarec (tab. 1) dobre koreluje s doteraz publikovanými údajmi pre tento minerál, ktoré sú uvedené v databáze kryštálových štruktúr dostupnej na internete (Downs, Hall-Wallace 2003), ako aj s teoretickým záznamom podľa databázy zeolitových štruktúr (Baerlocher, McCusker 1996). Vypočítané mriežkové parametre základnej bunky sú v porovnaní s inými publikovanými údajmi pre laumontit (resp. *leonhardit*) uvedené v tabuľke 2.

Chemické zloženie laumontitu z Jazarca (tab. 3) sa blíži normálnemu zloženiu laumontitu. Z prímesí boli identifikované iba nevýrazne zvýšené obsahy Fe, Na a K (spolu 0.66 hm. % oxidov; 0.28 apfu).

Tabuľka 1 Záznam práškovej rentgenovej difrákčnej analýzy laumontitu z Jazarca

| <i>h</i> | <i>k</i> | <i>l</i> | <i>d</i> _{obs.} | <i>I</i> _{obs.} | <i>d</i> _{calc.} | <i>h</i> | <i>k</i> | <i>l</i> | <i>d</i> _{obs.} | <i>I</i> _{obs.} | <i>d</i> _{calc.} |
|----------|----------|----------|--------------------------|--------------------------|---------------------------|----------|----------|----------|--------------------------|--------------------------|---------------------------|
| 1 | 1 | 0 | 9.441 | 100.0 | 9.427 | 0 | 6 | 0 | 2.179 | 3.9 | 2.177 |
| 2 | 0 | 0 | 6.836 | 40.6 | 6.810 | 6 | 2 | 0 | 2.151 | 8.3 | 2.144 |
| 0 | 2 | 0 | 6.534 | 1.5 | 6.531 | -3 | 5 | 2 | 2.089 | 2.5 | 2.089 |
| -2 | 0 | 1 | 6.189 | 6.5 | 6.182 | -6 | 0 | 3 | 2.060 | 0.9 | 2.061 |
| 1 | 1 | 1 | 5.041 | 9.8 | 5.040 | -7 | 1 | 2 | 2.041 | 1.1 | 2.035 |
| 2 | 2 | 0 | 4.721 | 17.3 | 4.713 | 4 | 2 | 2 | 1.9894 | 2.0 | 1.9860 |
| -2 | 2 | 1 | 4.494 | 14.1 | 4.489 | -5 | 5 | 1 | 1.9569 | 6.2 | 1.9521 |
| 3 | 1 | 0 | 4.304 | 2.4 | 4.288 | 1 | 3 | 3 | 1.9427 | 1.8 | 1.9456 |
| 1 | 3 | 0 | 4.153 | 55.1 | 4.147 | 2 | 6 | 1 | 1.9317 | 0.7 | 1.9297 |
| -1 | 3 | 1 | 3.764 | 2.4 | 3.764 | 2 | 2 | 3 | 1.9065 | 1.5 | 1.9084 |
| -4 | 0 | 1 | 3.657 | 18.4 | 3.647 | 5 | 5 | 0 | 1.8901 | 1.7 | 1.8853 |
| 0 | 0 | 2 | 3.504 | 34.9 | 3.511 | -7 | 1 | 3 | 1.8682 | 2.8 | 1.8635 |
| 1 | 3 | 1 | 3.406 | 7.8 | 3.405 | 0 | 6 | 2 | 1.8504 | 3.3 | 1.8501 |
| -3 | 1 | 2 | 3.358 | 9.3 | 3.362 | 5 | 1 | 2 | 1.8254 | 1.6 | 1.8253 |
| 0 | 4 | 0 | 3.266 | 18.8 | 3.265 | -5 | 1 | 4 | 1.8004 | 0.8 | 1.8008 |
| -3 | 3 | 1 | 3.197 | 12.0 | 3.194 | 3 | 5 | 2 | 1.7597 | 1.7 | 1.7589 |
| 3 | 3 | 0 | 3.149 | 11.8 | 3.142 | -3 | 7 | 1 | 1.7312 | 0.5 | 1.7341 |
| -4 | 0 | 2 | 3.089 | 1.5 | 3.091 | 2 | 4 | 3 | 1.7090 | 2.3 | 1.7027 |
| 4 | 2 | 0 | 3.029 | 19.1 | 3.019 | 8 | 0 | 0 | 1.7025 | 1.2 | 1.7024 |
| 2 | 4 | 0 | 2.947 | 2.1 | 2.944 | -6 | 2 | 4 | 1.6795 | 0.6 | 1.6809 |
| -5 | 1 | 1 | 2.875 | 13.2 | 2.866 | -3 | 7 | 2 | 1.6429 | 0.4 | 1.6443 |
| -4 | 2 | 2 | 2.795 | 7.9 | 2.793 | -7 | 1 | 4 | 1.6354 | 3.2 | 1.6328 |
| 2 | 0 | 2 | 2.731 | 1.5 | 2.731 | -7 | 5 | 2 | 1.6221 | 3.5 | 1.6177 |
| -5 | 1 | 2 | 2.645 | 0.9 | 2.641 | -6 | 6 | 2 | 1.5994 | 1.5 | 1.5968 |
| 3 | 3 | 1 | 2.629 | 3.7 | 2.626 | 0 | 8 | 1 | 1.5903 | 1.4 | 1.5902 |
| 2 | 4 | 1 | 2.573 | 11.3 | 2.571 | -2 | 8 | 1 | 1.5755 | 1.4 | 1.5785 |
| 1 | 3 | 2 | 2.539 | 3.3 | 2.540 | 7 | 5 | 0 | 1.5652 | 4.9 | 1.5604 |
| 2 | 2 | 2 | 2.518 | 6.9 | 2.520 | -3 | 5 | 4 | 1.5336 | 1.4 | 1.5330 |
| -2 | 4 | 2 | 2.461 | 3.0 | 2.461 | 2 | 8 | 1 | 1.5222 | 4.4 | 1.5202 |
| -4 | 4 | 1 | 2.438 | 12.1 | 2.433 | -2 | 0 | 5 | 1.4926 | 1.5 | 1.4904 |
| 0 | 4 | 2 | 2.390 | 0.7 | 2.391 | -4 | 8 | 1 | 1.4874 | 1.5 | 1.4901 |
| 4 | 4 | 0 | 2.361 | 5.9 | 2.357 | 4 | 4 | 3 | 1.4827 | 1.5 | 1.4799 |
| 5 | 3 | 0 | 2.313 | 0.4 | 2.309 | 4 | 8 | 0 | 1.4751 | 1.8 | 1.4721 |
| 3 | 5 | 0 | 2.267 | 3.4 | 2.264 | -1 | 1 | 5 | 1.4455 | 1.0 | 1.4448 |
| -4 | 4 | 2 | 2.242 | 0.5 | 2.245 | 7 | 5 | 1 | 1.4356 | 0.8 | 1.4346 |
| -6 | 2 | 2 | 2.215 | 2.9 | 2.211 | | | | | | |

Tabuľka 2 Parametre základnej bunky laumontitu (pre monoklinickú priestorovú grupu C2/m)

| táto práca | Coombs (1952) | | Liou (1971) | | Sunderman (1983) | | Fridriksson et al. (2003) | |
|---------------------|---------------|----------|-------------|-----------|------------------|------------|---------------------------|--|
| | Lmt | Leo | Lmt | Leo | Lmt | Leo | Lmt* | |
| a [Å] | 14.741(1) | 14.90(5) | 14.75(3) | 14.737(4) | 14.73(2) | 14.63(2) | 14.74820(1) | |
| b [Å] | 13.075(1) | 13.17(2) | 13.10(2) | 13.066(2) | 12.87(3) | 13.08(2) | 13.0698(8) | |
| c [Å] | 7.553(1) | 7.55(5) | 7.55(1) | 7.550(3) | 7.54(2) | 7.55(3) | 7.55869(7) | |
| β [°] | 111.964(4) | 111.5(5) | 112.0(2) | 111.9(2) | 110.824(4) | 111.876(3) | 112.014(1) | |
| V [Å ³] | 1349.9(1) | 1378.5 | 1352.6 | 1348.9 | 1393.73 | 1341.89 | 1350.76(2) | |

Lmt - laumontit Leo - leonhardit

* parametre pri p(H₂O) = 22.53 kPa, T = 27.6 °C (čiastočne dehydratovaný laumontit)

Záver

Nález laumontitu na puklinách andezitu v katastri obce Píla, pri Žarnovici, dopĺňa pohľad na jeho topografické rozšírenie v stredoslovenských neovulkanitoch. Popri puklinách vyplnených laumontitom sa na lokalite Jazarec vyskytujú aj pukliny vyplnené SiO_2 hmotami (jaspis). Keďže oba minerály vznikli v rámci postmagmatického hydrotermálneho (nízkotermálneho) procesu, ich samostatné vystupovanie na puklinových systémoch možno zdôvodniť kryštalizáciou puklinovej výplne pri odlišných teplotách.

Známou varietou laumontitu je tzv. *leonhardit*, ktorý je charakterizovaný nižším obsahom zeolitovej vody a tiež aj substitúciou $\text{Na}, \text{K} \rightarrow \text{Ca}$ (Fersman 1908). Vplyvom dehydratácie laumontitu dochádza k zmenám rozmerov jeho základnej bunky. Rentgenový difrakčný záznam laumontitu z Jazarca je lepšie korelovateľný s teoretickým záznamom *leonharditu*, ako so záznamom plne hydratovaného laumontitu (tab. 2). Jeho dehydratácia teda plne zodpovedá prechodu laumontit \rightarrow *leonhardit* pri „normálnych“ podmienkach: $p=100$ kPa, $T = 25^\circ\text{C}$ (sensu Neuhoff, Bird 2001). Výraznejšia substitúcia $\text{Na}, \text{K} \rightarrow \text{Ca}$ (sensu Fersman 1908), nebola orientačnými analýzami preukázaná (tab. 3).

Poděkovanie

Tento príspevok mohol vzniknúť vďaka finančnej podpore grantu VEGA 1/0650/15. Za pripomienky ktoré pomohli k skvalitneniu práce sme veľmi vďační recenzentom Petrovi Paulišovi a Martinovi Števkovi.

Literatúra

| Tabuľka 3 Orientačné chemické zloženie študovaného laumontitu (priemer 5 analýz) | |
|--|-------|
| SiO_2 | 54.78 |
| Al_2O_3 | 20.10 |
| CaO | 11.00 |
| FeO | 0.22 |
| Na_2O | 0.24 |
| K_2O | 0.20 |
| hm. % | 86.54 |
| vzorec (48 kyslíkov) | |
| Si | 16.70 |
| Al | 7.23 |
| ΣT | 23.93 |
| Ca | 3.59 |
| Fe | 0.06 |
| Na | 0.14 |
| K | 0.08 |
| $\Sigma \text{cat.}$ | 3.87 |
| Si/Al | 2.31 |
| T_{Si} | 0.70 |

Konečný V., Lexa J., Halouzka R., Dublan L., Šimon L., Stolár M., Nagy A., Polák M., Vozár J., Havrla M., Pristaš J. (1998a) Geologická mapa Štiavnických vrchov a Pohronského Inovca, M 1: 50 000. MŽP SR – GSSR, Bratislava.

Konečný V., Lexa J., Halouzka R., Hók J., Vozár J., Dublan L., Nagy A., Šimon L., Havrla M., Ivanička J., Hojstričová V., Mihaliková A., Vozárová A., Konečný P., Kováčiková M., Filo M., Marcin D., Klukanová A., Liščák P., Žáková E. (1998b) Vysvetlivky ku geologickej mape Štiavnických vrchov a Pohronského Inovca (Štiavnický stratovulkán), M 1: 50 000. Vol. I, II. 1-473, GSSR, Bratislava.

Liou J. G. (1971) Stilbite-laumontite equilibrium. *Contr. Mineral. Petrol.* 31, 171-177.

Liszkay G. (1877) A tetradymit lelhelyéről Zsupkón. Zsarnoca vidéki fémtelepek. Az asbestnek agy új lelhelyéről. Pyrolusitek Tiszolcon. Tiszolci márványfajok. *Földt. Közl.* 7, 9, 255-263.

Neuhoff P. S., Bird D. K. (2001) Partial dehydration of laumontite: thermodynamic constrains and petrogenetic implications. *Miner. Mag.* 65, 1, 59-70.

Ondruš P. (1993) ZDS - A computer program for analysis of X-ray powder diffraction patterns. *Materials Science Forum*, 133-136, 297-300, EPDIC-2. Enchede.

Ozdín D., Majzlan J. (1996) Nové výskytu zeolitov v stredoslovenských neovulkanitoch. *Minerál* 4, 2, 135-136.

Sunderman R. G. (1983) An X-ray study of unit cell parameter variation in laumontite and leonardite. *Senior thesis. The Ohio State University, Columbus*.

Tóth M. (1882) Magyarország ásványai különös tekintettel termőhelyeik megállapítására. 1-509, Nyomatott a Hunadi Mátyás intézetben, Budapest.

Fridriksson T., Bish D. L., Bird K. D. (2003) Hydrogen-bonded water in laumontite I: X-ray powder diffraction study of water site occupancy and structural changes in laumontite during room-temperature isothermal hydration/dehydration. *Am. Miner.* 88, 277-287.

Holland T. J. B., Redfern S. A. T. (1997) Unit cell refinement from powder diffraction data: the use of regression on diagnostics. *Miner. Mag.* 61, 65-77.

Kodéra M., Andrusovová-Vlčeková G., Belešová O., Briatková D., Dávidová Š., Fejdiová V., Hurai V., Chovan M., Nelíšerová E., Ženíš P. (1989-1990): Topografická mineralógia Slovenska, I-III. 1-1590, *Veda - vydavatelstvo SAV, Bratislava*.